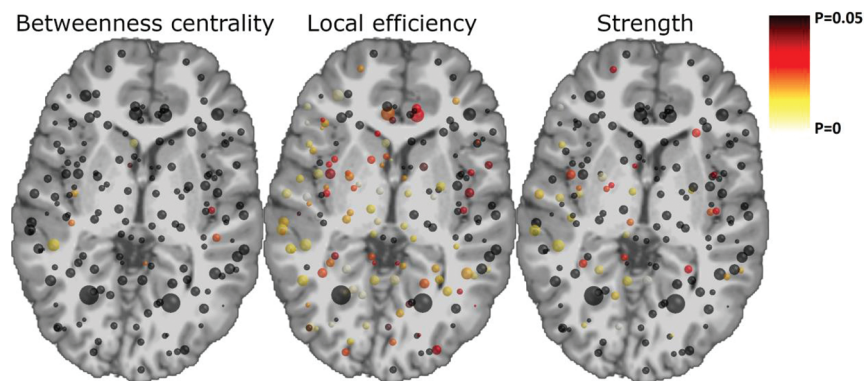


ON-LINE FIG 1. A boxplot of the global graph theoretical properties for the first and second acquisition of patients with CLN3 and the control subjects. Statistically significant differences (Bonferroni corrected) were found in the characteristic path length and degree, both for the first and second acquisition compared with control subjects.



ON-LINE FIG 2. Local differences in betweenness centrality, local efficiency, and strength between the first acquisition of the patients with CLN3 and the control subjects. The size of the nodes illustrates the volume of the gray matter region, and the color indicates the statistical significance of the differences (P values).

Colour legend:

P<0.05
P<0.01
P<0.000305 (Bonferroni corrected P<0.05/164)

CLN3 1st acquisition vs control subjects

Idx	Label name	Betweenness centrality			Local efficiency			Strength		
		CLN3 1st	CON	P	CLN3 1st	CON	P	CLN3 1st	CON	P
1	Left-Cerebellum-Cortex	722±294	841±433	0,630	0.0085±0.0031	0.01±0.0052	0,215	3143±1662	2194±1097	0,311
2	Left-Thalamus-Proper	789±417	750±388	0,722	0.0091±0.0047	0.0123±0.0052	0,097	1740±621	1848±655	0,485
3	Left-Caudate	619±369	502±292	0,323	0.0077±0.0049	0.0105±0.0041	0,046	849±649	911±342	0,322
4	Left-Putamen	700±430	568±338	0,315	0.0103±0.0055	0.0151±0.0052	0,012	2278±1299	2637±688	0,121
5	Left-Pallidum	410±285	415±208	0,769	0.0093±0.0057	0.0111±0.0034	0,173	948±580	852±338	0,701
6	Left-Hippocampus	650±466	534±396	0,902	0.0062±0.0026	0.0079±0.0031	0,056	1757±336	728±251	0,226
7	Left-Amygdala	146±154	151±104	0,737	0.0029±0.0018	0.0052±0.0022	0,002	173±53	116±75	0,195
8	Left-Accumbens-area	284±237	366±334	0,529	0.0044±0.0027	0.0061±0.0038	0,164	182±144	213±118	0,602
9	Right-Cerebellum-Cortex	1137±563	748±476	0,162	0.0076±0.003	0.01±0.0048	0,087	2916±1524	2128±1224	0,497
10	Right-Thalamus-Proper	443±319	616±454	0,174	0.0089±0.0041	0.0138±0.0058	0,012	1693±1043	1993±483	0,134
11	Right-Caudate	436±343	400±344	0,687	0.0076±0.0043	0.0111±0.0046	0,028	1837±469	842±341	0,534
12	Right-Putamen	954±410	799±472	0,399	0.0097±0.0057	0.0164±0.008	0,021	2180±955	3254±890	0,004
13	Right-Pallidum	338±205	348±301	0,958	0.0078±0.0035	0.0142±0.0063	0,003	759±333	1037±390	0,031
14	Right-Hippocampus	585±394	343±238	0,090	0.0052±0.0017	0.0097±0.0066	0,017	564±425	762±393	0,072
15	Right-Amygdala	238±274	425±310	0,129	0.0035±0.0019	0.0061±0.0051	0,026	103±72	202±192	0,027
16	Right-Accumbens-area	218±227	364±341	0,046	0.0084±0.0019	0.0067±0.0046	0,020	139±121	301±411	0,035
17	ctx_lh_G_and_S_frontomargin	352±294	198±223	0,070	0.0079±0.006	0.0099±0.0046	0,228	612±558	622±672	0,731
18	ctx_lh_G_and_S_occipital_inf	181±173	188±149	0,760	0.0069±0.0038	0.0082±0.004	0,468	534±622	470±379	0,581
19	ctx_lh_G_and_S_paracentral	374±274	346±281	0,593	0.0054±0.0028	0.0095±0.0044	0,010	509±431	688±374	0,183
20	ctx_lh_G_and_S_subcentral	127±147	202±223	0,201	0.0084±0.0057	0.0107±0.006	0,142	572±400	511±210	0,816
21	ctx_lh_G_and_S_transv_frontopol	211±178	155±154	0,605	0.0076±0.0042	0.0095±0.0047	0,159	559±523	454±418	0,931
22	ctx_lh_G_and_S_cingul-Ant	217±215	282±227	0,173	0.0054±0.0023	0.0093±0.0055	0,031	382±311	576±357	0,144
23	ctx_lh_G_and_S_cingul-Mid-Ant	150±118	224±184	0,157	0.0059±0.0036	0.0082±0.0038	0,050	398±222	388±237	0,502
24	ctx_lh_G_and_S_cingul-Mid-Post	161±119	100±89	0,633	0.0047±0.0024	0.0078±0.0038	0,009	260±138	254±130	0,689
25	ctx_lh_G_cingul-Post-dorsal	227±153	204±130	0,878	0.0033±0.0018	0.0044±0.002	0,135	123±75	109±77	0,875
26	ctx_lh_G_cingul-Post-ventral	353±279	181±148	0,022	0.0032±0.0017	0.006±0.0038	0,036	148±121	213±158	0,548
27	ctx_lh_G_cuneus	299±193	280±140	0,959	0.0044±0.0022	0.0062±0.0034	0,047	307±146	368±213	0,139
28	ctx_lh_G_front_inf-Opercular	174±174	167±88	0,874	0.0083±0.0056	0.0116±0.0046	0,040	831±819	833±342	0,681
29	ctx_lh_G_front_inf-Orbital	147±170	215±269	0,225	0.0049±0.0027	0.0067±0.0032	0,200	198±282	227±148	0,452
30	ctx_lh_G_front_inf-Triangul	349±163	307±184	0,903	0.0077±0.0047	0.0096±0.0041	0,116	645±583	637±333	0,428
31	ctx_lh_G_front_middle	336±295	221±155	0,262	0.0128±0.0094	0.0161±0.0057	0,171	1334±758	1682±745	0,294
32	ctx_lh_G_front_sup	824±323	830±349	0,637	0.011±0.0065	0.0153±0.0049	0,031	3748±2198	4799±1763	0,085
33	ctx_lh_G_ins_lg_and_S_cent_ins	202±156	189±167	0,703	0.0047±0.0027	0.006±0.0026	0,280	199±150	185±127	0,744
34	ctx_lh_G_insular_short	343±215	244±201	0,198	0.0052±0.003	0.0077±0.0041	0,057	243±182	387±200	0,039
35	ctx_lh_G_occipital_middle	285±213	235±166	0,351	0.0073±0.0035	0.0102±0.0042	0,035	1019±893	856±349	0,790
36	ctx_lh_G_occipital_sup	326±196	347±259	0,603	0.0046±0.0021	0.0072±0.0035	0,024	393±331	447±207	0,618
37	ctx_lh_G_oc-temp_lat-fusifor	207±166	178±156	0,975	0.0055±0.002	0.0089±0.0041	0,015	335±239	537±255	0,064
38	ctx_lh_G_oc-temp_med-Lingual	379±235	441±318	0,594	0.0044±0.0016	0.0071±0.0031	0,017	417±355	598±287	0,158
39	ctx_lh_G_oc-temp_med-Parahip	358±233	365±202	0,498	0.005±0.0025	0.0064±0.0027	0,067	327±207	324±130	0,435
40	ctx_lh_G_orbital	481±332	515±198	0,579	0.0084±0.0053	0.0105±0.0049	0,303	1034±506	1262±596	0,453
41	ctx_lh_G_pariet_inf-Angular	234±190	305±238	0,578	0.0096±0.0056	0.0118±0.0038	0,265	1115±646	961±392	0,284
42	ctx_lh_G_pariet_inf-Supramar	74±73	126±118	0,083	0.0107±0.0062	0.0147±0.005	0,086	971±626	1259±714	0,194
43	ctx_lh_G_parietal_sup	633±415	718±286	0,683	0.0065±0.0033	0.0101±0.0045	0,024	980±647	1478±607	0,053
44	ctx_lh_G_postcentral	344±314	310±212	0,520	0.0091±0.0053	0.0124±0.0054	0,101	1802±434	1020±422	0,076
45	ctx_lh_G_precentral	381±225	392±352	0,547	0.0115±0.0062	0.0158±0.0044	0,039	1759±1177	1941±615	0,469
46	ctx_lh_G_precuneus	617±476	543±589	0,778	0.0057±0.0024	0.0105±0.0053	0,005	706±347	1131±275	9,4E-04
47	ctx_lh_G_rectus	249±198	131±128	0,202	0.005±0.0029	0.0076±0.0047	0,273	238±165	333±360	0,810
48	ctx_lh_G_subcallosal	271±252	205±250	0,615	0.0026±0.0013	0.0042±0.0027	0,073	180±80	89±63	0,733
49	ctx_lh_G_temp_sup-G_T_transv	64±78	69±76	0,890	0.0043±0.0031	0.0059±0.0027	0,296	177±70	103±91	0,656
50	ctx_lh_G_temp_sup-Lateral	340±230	380±284	0,891	0.0079±0.004	0.0092±0.0031	0,231	1809±528	862±466	0,654
51	ctx_lh_G_temp_sup-Plan_polar	260±166	359±224	0,150	0.0034±0.0025	0.0056±0.0025	0,058	102±82	280±314	0,153
52	ctx_lh_G_temp_sup-Plan_tempo	96±104	134±134	0,487	0.0057±0.0039	0.0098±0.003	0,008	176±121	352±228	0,017
53	ctx_lh_G_temporal_inf	449±387	432±313	0,675	0.0077±0.0039	0.0117±0.0055	0,054	882±483	1324±704	0,137
54	ctx_lh_G_temporal-middle	416±477	353±231	0,297	0.0092±0.0054	0.0119±0.004	0,098	1954±501	1476±721	0,058
55	ctx_lh_Lat_Fis-ant-Horizont	41±33	87±79	0,080	0.0034±0.0024	0.0046±0.0026	0,445	33±32	50±38	0,563
56	ctx_lh_Lat_Fis-ant-Vertical	49±70	92±94	0,210	0.0037±0.0032	0.006±0.0028	0,026	44±45	70±35	0,084
57	ctx_lh_Lat_Fis-post	111±79	61±63	0,064	0.0044±0.0026	0.0064±0.0035	0,014	181±330	115±59	0,926
58	ctx_lh_Pole_occipital	245±293	324±218	0,431	0.0059±0.0034	0.007±0.0055	0,287	1479±373	417±379	0,550
59	ctx_lh_Pole_temporal	517±274	658±386	0,161	0.0069±0.0037	0.0099±0.0049	0,096	1040±521	1373±630	0,261
60	ctx_lh_S_calcarine	315±216	376±299	0,754	0.0047±0.0021	0.006±0.0033	0,140	404±187	309±195	0,554

ON-LINE FIG 3. Results of the local graph theoretical analyses in CLN3.

61	ctx_lh_S_central	229±297	265±220	0,581	0.0064±0.0037	0.0088±0.0041	0,053	234±206	361±174	0,024
62	ctx_lh_S_cingul-Marginalis	286±222	172±227	0,228	0.0042±0.0021	0.008±0.0047	0,013	232±221	307±243	0,546
63	ctx_lh_S_circular_insula_ant	111±129	69±108	0,239	0.0043±0.0033	0.0053±0.0028	0,731	199±99	65±38	0,124
64	ctx_lh_S_circular_insula_inf	360±280	229±123	0,037	0.0048±0.0026	0.0075±0.0041	0,036	209±104	326±147	0,031
65	ctx_lh_S_circular_insula_sup	274±250	214±124	0,218	0.0049±0.0034	0.0059±0.0021	0,413	191±147	152±81	0,625
66	ctx_lh_S_collat_transv_ant	164±153	340±270	0,049	0.0049±0.0031	0.0058±0.0025	0,544	199±129	231±146	0,612
67	ctx_lh_S_collat_transv_post	48±58	103±144	0,345	0.0032±0.0018	0.007±0.0067	0,040	128±36	122±137	0,010
68	ctx_lh_S_front_inf	166±166	90±113	0,142	0.0091±0.008	0.0109±0.006	0,137	305±357	242±147	0,698
69	ctx_lh_S_front_middle	129±132	148±147	0,740	0.0063±0.0041	0.0096±0.004	0,018	140±100	239±334	0,572
70	ctx_lh_S_front_sup	235±208	235±216	0,502	0.0109±0.0107	0.0144±0.0072	0,267	381±304	632±293	0,029
71	ctx_lh_S_interm_prim-Jensen	33±37	37±74	0,780	0.0038±0.003	0.0083±0.0057	0,036	148±54	53±37	0,594
72	ctx_lh_S_intrapariet_and_P_trans	338±223	553±547	0,084	0.0055±0.0024	0.0079±0.0032	0,015	1400±206	583±301	0,084
73	ctx_lh_S_oc_middle_and_Lunatus	183±220	209±159	0,749	0.0034±0.0031	0.0046±0.0023	0,174	138±158	113±70	0,940
74	ctx_lh_S_oc_sup_and_transversal	434±567	256±158	0,053	0.0041±0.0018	0.006±0.0034	0,069	224±139	260±211	0,637
75	ctx_lh_S_occipital_ant	54±49	72±54	0,486	0.005±0.0029	0.0063±0.0038	0,163	107±95	110±80	0,615
76	ctx_lh_S_oc-temp_lat	144±173	176±161	0,925	0.0046±0.0022	0.0068±0.0033	0,037	164±146	202±143	0,253
77	ctx_lh_S_oc-temp_med_and_Lingual	373±396	252±268	0,314	0.0045±0.0021	0.008±0.0047	0,017	317±206	435±149	0,031
78	ctx_lh_S_orbital_lateral	127±121	141±179	0,996	0.0052±0.0039	0.0056±0.0025	0,321	116±146	107±94	0,799
79	ctx_lh_S_orbital_med-olfact	214±471	123±105	0,217	0.0036±0.0023	0.004±0.0022	0,819	87±70	66±44	0,575
80	ctx_lh_S_orbital_H_Shaped	147±166	108±135	0,392	0.0048±0.0038	0.0068±0.0028	0,144	101±96	106±57	0,832
81	ctx_lh_S_parieto_occipital	270±308	302±214	0,773	0.0045±0.0023	0.0064±0.0039	0,045	304±228	319±116	0,421
82	ctx_lh_S_pericallosal	362±268	321±247	0,464	0.0038±0.0017	0.0058±0.0029	0,019	223±134	218±72	0,479
83	ctx_lh_S_postcentral	122±107	260±181	0,025	0.0075±0.0039	0.0092±0.0042	0,230	349±171	385±133	0,256
84	ctx_lh_S_precentral-inf-part	94±97	60±56	0,414	0.0065±0.0036	0.0106±0.0064	0,035	138±116	191±119	0,354
85	ctx_lh_S_precentral-sup-part	72±89	125±156	0,071	0.0072±0.0058	0.0102±0.0027	0,093	109±110	228±121	0,012
86	ctx_lh_S_suborbital	166±152	105±104	0,592	0.003±0.0015	0.0056±0.0042	0,107	180±76	151±216	0,630
87	ctx_lh_S_subparietal	229±186	202±140	0,476	0.0036±0.0011	0.0061±0.004	0,017	225±202	246±170	0,308
88	ctx_lh_S_temporal_inf	103±84	165±177	0,402	0.0046±0.0022	0.0084±0.005	0,009	111±79	311±277	0,017
89	ctx_lh_S_temporal_sup	372±344	171±164	0,085	0.0072±0.0035	0.0101±0.0032	0,018	657±389	786±419	0,490
90	ctx_lh_S_temporal_transverse	85±116	43±75	0,604	0.0036±0.0028	0.0039±0.0029	0,935	59±84	53±95	0,810
91	ctx_rh_G_and_S_frontomargin	354±412	199±161	0,106	0.0069±0.004	0.0108±0.0046	0,019	1450±250	703±461	0,036
92	ctx_rh_G_and_S_occipital_inf	169±184	181±173	0,972	0.0068±0.004	0.0099±0.0045	0,046	430±316	552±457	0,543
93	ctx_rh_G_and_S_paracentral	234±208	286±165	0,771	0.0048±0.0025	0.0081±0.0041	0,005	265±201	473±287	0,023
94	ctx_rh_G_and_S_subcentral	135±100	109±92	0,308	0.0062±0.0037	0.0106±0.006	0,011	285±143	370±224	0,059
95	ctx_rh_G_and_S_transv_frontopol	340±334	237±278	0,370	0.0084±0.0053	0.0123±0.0059	0,068	1716±637	637±275	0,718
96	ctx_rh_G_and_S_cingul-Ant	329±237	339±255	0,624	0.0064±0.0038	0.0101±0.0056	0,059	573±408	650±226	0,885
97	ctx_rh_G_and_S_cingul-Mid-Ant	395±266	173±137	0,007	0.0053±0.0027	0.0102±0.0057	0,006	431±255	562±348	0,376
98	ctx_rh_G_and_S_cingul-Mid-Post	291±310	311±232	0,878	0.0044±0.0015	0.0085±0.004	0,002	268±95	462±191	0,012
99	ctx_rh_G_cingul-Post-dorsal	185±217	164±124	0,554	0.0033±0.0016	0.0055±0.0033	0,054	128±63	150±78	0,433
100	ctx_rh_G_cingul-Post-ventral	221±301	212±174	0,820	0.0034±0.0023	0.0056±0.0031	0,029	144±129	234±131	0,135
101	ctx_rh_G_cuneus	400±262	588±328	0,170	0.0039±0.0015	0.0066±0.0035	0,007	246±145	432±171	0,001
102	ctx_rh_G_front_inf-Opercular	193±154	155±119	0,777	0.0072±0.0054	0.0141±0.0059	0,010	486±322	1048±615	0,011
103	ctx_rh_G_front_inf-Orbital	80±71	109±87	0,356	0.0043±0.0019	0.0079±0.0029	0,002	115±69	263±207	0,071
104	ctx_rh_G_front_inf-Triangul	225±247	251±272	0,706	0.0064±0.0037	0.0126±0.0061	0,004	421±326	765±282	0,001
105	ctx_rh_G_front_middle	420±302	360±213	0,637	0.0101±0.0054	0.0173±0.0064	0,004	1171±1379	1923±633	0,405
106	ctx_rh_G_front_sup	837±542	1036±700	0,911	0.0104±0.0057	0.0154±0.0065	0,023	3363±2116	4862±1537	0,063
107	ctx_rh_G_Ins_lg_and_S_cent_ins	179±121	205±219	0,828	0.004±0.0025	0.008±0.0052	0,020	117±85	295±241	0,023
108	ctx_rh_G_insular_short	307±148	193±173	0,189	0.0053±0.0035	0.0108±0.007	0,031	296±222	527±287	0,060
109	ctx_rh_G_occipital_middle	376±341	254±208	0,119	0.0077±0.0042	0.0129±0.0051	0,007	1094±872	1381±888	0,526
110	ctx_rh_G_occipital_sup	368±325	608±321	0,213	0.0046±0.0022	0.0074±0.0031	0,012	1452±521	652±335	0,426
111	ctx_rh_G_oc-temp_lat-fusifor	206±222	125±117	0,217	0.0058±0.0025	0.0088±0.0042	0,026	281±179	383±162	0,069
112	ctx_rh_G_oc-temp_med-Lingual	641±416	395±305	0,078	0.0042±0.0012	0.008±0.0047	0,003	431±261	668±308	0,015
113	ctx_rh_G_oc-temp_med-Parahip	343±288	362±240	0,712	0.0041±0.0015	0.0064±0.0031	0,018	234±255	302±168	0,431
114	ctx_rh_G_orbital	550±398	620±456	0,540	0.0075±0.0043	0.0106±0.0045	0,088	1014±543	1231±617	0,463
115	ctx_rh_G_pariet_inf-Angular	254±280	227±140	0,954	0.0099±0.0059	0.0165±0.0061	0,013	1211±855	1834±775	0,053
116	ctx_rh_G_pariet_inf-Supramar	156±183	127±127	0,832	0.0105±0.0055	0.0171±0.0078	0,016	1128±684	1216±634	0,315
117	ctx_rh_G_parietal_sup	663±460	645±415	0,646	0.0055±0.0033	0.0106±0.0051	0,002	631±461	1080±398	0,009
118	ctx_rh_G_postcentral	473±371	379±262	0,180	0.0069±0.0043	0.0136±0.0072	0,001	638±457	1063±472	0,010
119	ctx_rh_G_precentral	400±315	405±369	1,000	0.0095±0.0048	0.0191±0.0106	0,008	1460±1051	2462±818	0,027
120	ctx_rh_G_precuneus	480±387	459±223	0,629	0.0054±0.0026	0.0092±0.0044	0,010	664±378	1219±571	0,011
121	ctx_rh_G_rectus	230±236	250±180	0,246	0.0034±0.0022	0.0052±0.0026	0,043	89±76	150±146	0,115
122	ctx_rh_G_subcallosal	204±148	208±275	0,763	0.0022±0.0009	0.0043±0.0029	0,007	62±49	136±190	0,118
123	ctx_rh_G_temp_sup-G_T_transv	164±107	120±101	0,331	0.0035±0.0025	0.0071±0.0046	0,020	75±79	139±97	0,051
124	ctx_rh_G_temp_sup-Lateral	672±809	415±281	0,065	0.0069±0.0036	0.0129±0.0073	0,008	171±338	1314±648	0,015
125	ctx_rh_G_temp_sup-Plan_polar	363±159	307±208	0,306	0.0041±0.0028	0.0069±0.0035	0,050	185±142	331±202	0,077
126	ctx_rh_G_temp_sup-Plan_tempo	82±76	68±65	0,540	0.0074±0.0051	0.0111±0.0049	0,034	240±184	283±98	0,278
127	ctx_rh_G_temporal_inf	218±187	180±153	0,239	0.0083±0.0048	0.0126±0.0051	0,013	850±449	967±437	0,279
128	ctx_rh_G_temporal_middle	220±156	351±285	0,333	0.0095±0.0051	0.016±0.0083	0,011	1537±786	2261±760	0,012
129	ctx_rh_Lat_Fis-ant-Horizont	116±148	97±126	0,942	0.0034±0.0031	0.0061±0.0032	0,031	162±79	100±99	0,141
130	ctx_rh_Lat_Fis-ant-Vertical	43±85	55±85	0,621	0.0033±0.0033	0.0069±0.0051	0,016	39±56	50±49	0,067

ON-LINE FIG 3. Continued

131	ctx_rh_Lat_Fis-post	144±88	84±70	0,022	0.0052±0.0032	0.007±0.0044	0,096	230±209	124±75	0,462
132	ctx_rh_Pole_occipital	506±422	431±373	0,975	0.0057±0.0026	0.0081±0.0035	0,026	638±366	646±319	0,436
133	ctx_rh_Pole_temporal	585±374	495±323	0,415	0.007±0.0038	0.0105±0.0059	0,039	918±490	1149±526	0,108
134	ctx_rh_S_calcarine	396±221	437±305	0,376	0.0039±0.0012	0.0064±0.003	0,007	266±134	415±273	0,155
135	ctx_rh_S_central	174±117	253±140	0,017	0.0055±0.0039	0.01±0.0055	0,031	232±171	456±274	0,009
136	ctx_rh_S_cingul-Marginalis	177±184	206±200	0,424	0.0045±0.0023	0.0075±0.0036	0,009	197±146	362±203	0,007
137	ctx_rh_S_circular_insula_ant	135±146	44±34	0,493	0.0043±0.0037	0.0065±0.0028	0,169	101±103	99±96	0,897
138	ctx_rh_S_circular_insula_inf	217±132	310±174	0,210	0.0052±0.0029	0.0081±0.0044	0,072	269±138	430±286	0,118
139	ctx_rh_S_circular_insula_sup	191±129	179±135	0,792	0.0037±0.002	0.0064±0.0036	0,030	93±52	131±94	0,133
140	ctx_rh_S_collat_transv_ant	75±85	115±146	0,245	0.0054±0.0034	0.0079±0.006	0,141	138±81	294±287	0,104
141	ctx_rh_S_collat_transv_post	83±109	136±144	0,173	0.0037±0.0037	0.0046±0.003	0,246	51±51	61±43	0,388
142	ctx_rh_S_front_inf	186±150	163±163	0,971	0.006±0.0033	0.0104±0.0066	0,017	300±283	237±168	0,762
143	ctx_rh_S_front_middle	210±229	201±168	0,892	0.0082±0.0069	0.0114±0.0059	0,186	316±275	351±300	0,392
144	ctx_rh_S_front_sup	222±211	292±361	0,378	0.0082±0.0053	0.013±0.0065	0,050	326±201	550±329	0,090
145	ctx_rh_S_interm_prim-Jensen	41±54	20±31	0,428	0.0044±0.0019	0.0079±0.0043	0,012	66±101	45±26	0,745
146	ctx_rh_S_intrapariet_and_P_trans	298±242	340±258	0,886	0.0059±0.0044	0.0098±0.0056	0,022	389±353	605±386	0,028
147	ctx_rh_S_oc_middle_and_Lunatus	129±204	124±81	0,594	0.0028±0.0017	0.0055±0.0033	0,008	71±74	119±125	0,260
148	ctx_rh_S_oc_sup_and_transversal	239±194	436±447	0,679	0.0046±0.0022	0.0066±0.0038	0,003	100±63	321±348	0,010
149	ctx_rh_S_occipital_ant	218±270	88±81	0,301	0.0047±0.0023	0.0091±0.0061	0,019	107±90	284±338	0,052
150	ctx_rh_S_oc-temp_lat	45±67	140±194	0,140	0.0053±0.0031	0.0063±0.0027	0,404	92±72	126±140	0,326
151	ctx_rh_S_oc-temp_med_and_Lingual	190±186	181±135	0,379	0.0043±0.002	0.0062±0.0026	0,039	175±131	203±72	0,192
152	ctx_rh_S_orbital_lateral	101±124	196±269	0,510	0.0042±0.0038	0.007±0.0044	0,066	83±91	171±146	0,143
153	ctx_rh_S_orbital_med-olfact	176±201	118±123	0,852	0.003±0.002	0.0056±0.0039	0,032	75±50	128±92	0,071
154	ctx_rh_S_orbital-H_Shaped	172±226	153±214	0,636	0.0053±0.0028	0.0071±0.0054	0,218	257±356	129±133	0,433
155	ctx_rh_S_parieto_occipital	429±272	504±312	0,406	0.0041±0.0018	0.0068±0.0031	0,004	345±245	425±166	0,101
156	ctx_rh_S_pericallosal	657±479	526±347	0,212	0.0046±0.0027	0.0079±0.0049	0,025	452±395	636±428	0,190
157	ctx_rh_S_postcentral	283±259	275±159	0,942	0.0046±0.0021	0.0099±0.0046	9,4E-04	204±136	444±263	0,012
158	ctx_rh_S_precentral-inf-part	73±89	71±69	0,663	0.0062±0.0036	0.012±0.0065	0,016	184±168	247±134	0,065
159	ctx_rh_S_precentral-sup-part	79±94	193±316	0,080	0.0065±0.0044	0.0124±0.0079	0,027	152±112	289±292	0,072
160	ctx_rh_S_suborbital	72±123	88±112	0,987	0.0024±0.0016	0.0031±0.0022	0,545	37±38	33±24	0,470
161	ctx_rh_S_subparietal	183±151	221±171	0,992	0.0037±0.0027	0.0064±0.0029	0,025	165±138	344±241	0,028
162	ctx_rh_S_temporal_inf	240±273	200±178	0,692	0.0054±0.0045	0.0087±0.0035	0,015	209±198	352±281	0,070
163	ctx_rh_S_temporal_sup	346±229	220±158	0,013	0.0087±0.0048	0.0148±0.0065	0,010	813±374	1348±599	0,012
164	ctx_rh_S_temporal_transverse	64±51	70±69	0,609	0.0036±0.0028	0.0062±0.004	0,047	50±43	77±50	0,141

CLN3 2nd acquisition vs control subjects

Idx	Label name	Betweenness centrality			Local efficiency			Strength		
		CLN3 2nd	CON	P	CLN3 2nd	CON	P	CLN3 2nd	CON	P
1	Left-Cerebellum-Cortex	970±509	841±433	0,418	0.0081±0.0033	0.01±0.0052	0,226	3566±1685	2194±1097	0,052
2	Left-Thalamus-Proper	1146±392	750±388	0,002	0.008±0.0033	0.0123±0.0052	0,011	1869±699	1848±655	0,909
3	Left-Caudate	648±388	502±292	0,361	0.0064±0.0034	0.0105±0.0041	0,014	559±276	911±342	0,013
4	Left-Putamen	590±384	568±338	0,947	0.0096±0.0039	0.0151±0.0052	0,003	2108±907	2637±688	0,052
5	Left-Pallidum	373±275	415±208	0,601	0.0079±0.0033	0.0111±0.0034	0,020	749±442	852±338	0,473
6	Left-Hippocampus	683±448	534±396	0,199	0.0058±0.0028	0.0079±0.0031	0,050	500±341	728±251	0,018
7	Left-Amygdala	249±245	151±104	0,293	0.0041±0.0024	0.0052±0.0022	0,202	122±156	16±75	0,933
8	Left-Accumbens-area	230±252	366±334	0,245	0.0033±0.0011	0.0061±0.0038	0,021	97±91	213±118	0,012
9	Right-Cerebellum-Cortex	912±508	748±476	0,346	0.0079±0.0029	0.01±0.0048	0,109	3168±1226	2128±1224	0,096
10	Right-Thalamus-Proper	813±440	616±454	0,272	0.0073±0.0031	0.0138±0.0058	0,002	1172±710	1993±483	9,3E-04
11	Right-Caudate	268±145	400±344	0,225	0.0079±0.0036	0.0111±0.0046	0,054	734±452	842±341	0,321
12	Right-Putamen	613±287	799±472	0,205	0.0096±0.0036	0.0164±0.008	0,009	2105±1126	3254±890	8,4E-04
13	Right-Pallidum	544±321	348±301	0,226	0.008±0.0026	0.0142±0.0063	0,005	842±370	1037±390	0,201
14	Right-Hippocampus	561±428	343±238	0,161	0.0054±0.002	0.0097±0.0066	0,035	534±355	762±393	0,066
15	Right-Amygdala	324±261	425±310	0,449	0.0033±0.0008	0.0061±0.0051	0,069	83±39	202±192	0,059
16	Right-Accumbens-area	147±136	364±341	0,052	0.0039±0.0021	0.0067±0.0046	0,053	139±111	301±411	0,215
17	ctx_lh_G_and_S_frontomargin	325±205	198±223	0,166	0.006±0.0022	0.0099±0.0046	0,013	386±377	622±672	0,384
18	ctx_lh_G_and_S_occipital_inf	179±212	188±149	0,945	0.0055±0.0029	0.0082±0.004	0,070	284±286	470±379	0,234
19	ctx_lh_G_and_S_paracentral	363±180	346±281	0,910	0.0053±0.0029	0.0095±0.0044	0,010	607±601	688±374	0,573
20	ctx_lh_G_and_S_subcentral	160±176	202±223	0,497	0.0066±0.0034	0.0107±0.006	0,021	419±372	511±210	0,213
21	ctx_lh_G_and_S_transv_frontopol	181±173	155±154	0,617	0.0067±0.0032	0.0095±0.0047	0,108	321±187	454±418	0,518
22	ctx_lh_G_and_S_cingul-Ant	290±236	282±227	0,869	0.0059±0.0032	0.0093±0.0055	0,080	577±608	576±357	0,928
23	ctx_lh_G_and_S_cingul-Mid-Ant	143±113	224±184	0,207	0.0054±0.0025	0.0082±0.0038	0,050	322±204	388±237	0,449
24	ctx_lh_G_and_S_cingul-Mid-Post	119±126	100±89	0,744	0.0049±0.0024	0.0078±0.0038	0,025	235±211	254±130	0,627
25	ctx_lh_G_cingul-Post-dorsal	172±114	204±130	0,545	0.003±0.0016	0.0044±0.002	0,054	89±59	109±77	0,365
26	ctx_lh_G_cingul-Post-ventral	163±111	181±148	0,486	0.0035±0.0016	0.006±0.0038	0,042	179±198	213±158	0,486
27	ctx_lh_G_cuneus	427±247	280±140	0,091	0.0035±0.0014	0.0062±0.0034	0,018	245±144	368±213	0,122
28	ctx_lh_G_front_inf-Opercular	202±219	167±88	0,540	0.0086±0.0048	0.0116±0.0046	0,043	870±815	833±342	0,822
29	ctx_lh_G_front_inf-Orbital	65±73	215±269	0,053	0.0045±0.0028	0.0067±0.0032	0,063	91±80	227±148	0,009
30	ctx_lh_G_front_inf-Triangul	240±184	307±184	0,251	0.0064±0.0019	0.0096±0.0041	0,012	430±284	637±333	0,026
31	ctx_lh_G_front-middle	532±326	221±155	0,004	0.0106±0.0051	0.0161±0.0057	0,010	1403±804	1682±745	0,224
32	ctx_lh_G_front_sup	765±437	830±349	0,640	0.0102±0.0043	0.0153±0.0049	0,006	4294±2927	4799±1763	0,330

ON-LINE FIG 3. Continued

33	ctx_lh_G_ins_lg_and_S_cent_ins	127±122	189±167	0,283	0.004±0.002	0.006±0.0026	0,026	146±177	185±127	0,362
34	ctx_lh_G_insular_short	360±155	244±201	0,106	0.0041±0.0015	0.0077±0.0041	0,003	256±227	387±200	0,034
35	ctx_lh_G_occipital_middle	474±244	235±166	0,016	0.0064±0.0036	0.0102±0.0042	0,015	732±453	856±349	0,336
36	ctx_lh_G_occipital_sup	331±180	347±259	0,908	0.0046±0.0027	0.0072±0.0035	0,031	407±388	447±207	0,563
37	ctx_lh_G_oc-temp_lat-fusiform	244±154	178±156	0,235	0.0058±0.0028	0.0089±0.0041	0,026	389±287	537±255	0,189
38	ctx_lh_G_oc-temp_med-Lingual	460±312	441±318	0,857	0.0042±0.002	0.0071±0.0031	0,012	308±275	598±287	0,016
39	ctx_lh_G_oc-temp_med-Parahipp	497±320	365±202	0,358	0.0046±0.0014	0.0064±0.0027	0,041	1283±135	324±130	0,305
40	ctx_lh_G_orbital	538±184	515±198	0,609	0.0061±0.0021	0.0105±0.0049	0,007	798±400	1262±596	0,039
41	ctx_lh_G_pariet_inf-Angular	448±382	305±238	0,138	0.0078±0.0039	0.0118±0.0038	0,002	1041±695	961±392	0,924
42	ctx_lh_G_pariet_inf-Supramar	128±99	126±118	0,845	0.0082±0.0036	0.0147±0.005	2,5E-04	717±567	1259±714	0,022
43	ctx_lh_G_parietal_sup	624±334	718±286	0,348	0.0068±0.003	0.0101±0.0045	0,028	1182±738	1478±607	0,199
44	ctx_lh_G_postcentral	261±211	310±212	0,190	0.0086±0.003	0.0124±0.0054	0,027	996±741	1020±422	0,531
45	ctx_lh_G_precentral	483±373	392±352	0,438	0.0108±0.0048	0.0158±0.0044	0,003	1689±1238	1941±615	0,309
46	ctx_lh_G_precuneus	713±512	543±589	0,536	0.0054±0.0024	0.0105±0.0053	0,006	654±432	1131±275	0,004
47	ctx_lh_G_rectus	211±145	131±128	0,226	0.0039±0.0016	0.0076±0.0047	0,027	217±192	333±360	0,453
48	ctx_lh_G_subcallosal	160±135	205±250	0,835	0.0026±0.0013	0.0042±0.0027	0,056	64±88	89±63	0,364
49	ctx_lh_G_temp_sup-G_T_transv	91±127	69±76	0,889	0.0036±0.0028	0.0059±0.0027	0,077	66±54	103±91	0,294
50	ctx_lh_G_temp_sup-Lateral	486±272	380±284	0,287	0.0062±0.0026	0.0092±0.0031	0,005	694±546	862±466	0,291
51	ctx_lh_G_temp_sup-Plan_polar	371±350	359±224	0,829	0.0036±0.0018	0.0056±0.0025	0,030	166±158	280±314	0,287
52	ctx_lh_G_temp_sup-Plan_tempo	129±127	134±134	0,949	0.0048±0.0033	0.0098±0.003	5,5E-05	207±234	352±228	0,081
53	ctx_lh_G_temporal_inf	380±234	432±313	0,475	0.007±0.003	0.0117±0.0055	0,011	799±498	1324±704	0,036
54	ctx_lh_G_temporal_middle	300±210	353±231	0,579	0.0069±0.0025	0.0119±0.004	4,8E-04	895±638	1476±721	0,021
55	ctx_lh_Lat_Fis-ant-Horizont	49±47	87±79	0,109	0.0021±0.0015	0.0046±0.0026	0,017	25±35	50±38	0,166
56	ctx_lh_Lat_Fis-ant-Vertical	75±86	92±94	0,587	0.0032±0.0024	0.006±0.0028	0,008	35±55	70±35	0,050
57	ctx_lh_Lat_Fis-post	105±114	61±63	0,362	0.0037±0.002	0.0064±0.0035	0,004	121±140	115±59	0,719
58	ctx_lh_Pole_occipital	258±319	324±218	0,524	0.0051±0.0022	0.007±0.0055	0,252	1454±528	417±379	0,984
59	ctx_lh_Pole_temporal	596±251	658±386	0,880	0.006±0.0025	0.0099±0.0049	0,011	1005±886	1373±630	0,181
60	ctx_lh_S_calcarine	380±254	376±299	0,962	0.0041±0.002	0.006±0.0033	0,085	278±169	309±195	0,433
61	ctx_lh_S_central	268±247	265±220	0,990	0.0056±0.002	0.0088±0.0041	0,008	239±181	361±174	0,030
62	ctx_lh_S_cingul-Marginalis	116±73	172±227	0,437	0.004±0.0021	0.008±0.0047	0,011	155±102	307±243	0,070
63	ctx_lh_S_circular_insula_ant	112±128	69±108	0,270	0.0033±0.0016	0.0053±0.0028	0,043	84±76	65±38	0,510
64	ctx_lh_S_circular_insula_inf	289±352	229±123	0,531	0.0047±0.002	0.0075±0.0041	0,026	320±215	326±147	0,699
65	ctx_lh_S_circular_insula_sup	259±160	214±124	0,355	0.0037±0.0017	0.0059±0.0021	8,6E-04	141±132	152±81	0,526
66	ctx_lh_S_collat_transv_ant	216±308	340±270	0,224	0.0042±0.0024	0.0058±0.0025	0,155	235±201	231±146	0,848
67	ctx_lh_S_collat_transv_post	34±59	103±144	0,179	0.003±0.0018	0.007±0.0067	0,058	35±57	122±137	0,053
68	ctx_lh_S_front_inf	183±202	90±113	0,276	0.0084±0.0056	0.0109±0.006	0,186	361±300	242±147	0,390
69	ctx_lh_S_front_middle	66±116	148±147	0,217	0.0072±0.0037	0.0096±0.004	0,148	119±83	239±334	0,313
70	ctx_lh_S_front_sup	306±275	235±216	0,584	0.0085±0.0043	0.0144±0.0072	0,025	487±478	632±293	0,168
71	ctx_lh_S_interm_prim-Jensen	61±72	37±74	0,468	0.0031±0.0021	0.0083±0.0057	0,002	71±110	53±37	0,820
72	ctx_lh_S_intrapariet_and_P_trans	408±299	553±547	0,308	0.0051±0.0028	0.0079±0.0032	0,014	359±292	583±301	0,073
73	ctx_lh_S_oc-middle_and_Lunatus	99±178	209±159	0,080	0.0039±0.0027	0.0046±0.0023	0,388	96±90	113±70	0,461
74	ctx_lh_S_oc-sup_and_transversal	293±353	256±158	0,788	0.0036±0.0024	0.006±0.0034	0,031	120±104	260±211	0,038
75	ctx_lh_S_occipital_ant	63±60	72±54	0,653	0.0031±0.0021	0.0063±0.0038	0,009	86±96	110±80	0,522
76	ctx_lh_S_oc-temp_lat	193±190	176±161	0,914	0.0039±0.002	0.0068±0.0033	0,011	126±112	202±143	0,110
77	ctx_lh_S_oc-temp_med_and_Lingual	219±300	252±268	0,572	0.0054±0.0021	0.008±0.0047	0,093	349±253	435±149	0,151
78	ctx_lh_S_orbital_lateral	90±75	141±179	0,442	0.0046±0.002	0.0056±0.0025	0,248	110±90	107±94	0,962
79	ctx_lh_S_orbital_med-olfact	141±134	123±105	0,891	0.0024±0.0013	0.004±0.0022	0,070	29±18	66±44	0,016
80	ctx_lh_S_orbital-H_Shaped	71±89	108±135	0,427	0.004±0.002	0.0068±0.0028	0,008	69±50	106±57	0,031
81	ctx_lh_S_parieto_occipital	282±191	302±214	0,664	0.0037±0.0015	0.0064±0.0039	0,022	259±222	319±116	0,235
82	ctx_lh_S_pericallosal	461±335	321±247	0,213	0.0039±0.0016	0.0058±0.0029	0,045	214±100	218±72	0,663
83	ctx_lh_S_postcentral	168±188	260±181	0,090	0.0074±0.0038	0.0092±0.0042	0,145	454±366	385±133	0,991
84	ctx_lh_S_precentral-inf-part	60±84	60±56	0,964	0.0072±0.0033	0.0106±0.0064	0,065	173±236	191±119	0,655
85	ctx_lh_S_precentral-sup-part	68±101	125±156	0,235	0.0073±0.0033	0.0102±0.0027	0,027	149±118	228±121	0,081
86	ctx_lh_S_suborbital	188±154	105±104	0,208	0.0036±0.0014	0.0056±0.0042	0,151	132±82	151±216	0,967
87	ctx_lh_S_subparietal	260±261	202±140	0,343	0.0036±0.0019	0.0061±0.004	0,036	198±204	246±170	0,317
88	ctx_lh_S_temporal_inf	157±94	165±177	0,994	0.004±0.0014	0.0084±0.005	0,004	134±106	311±277	0,040
89	ctx_lh_S_temporal_sup	330±275	171±164	0,104	0.0064±0.0025	0.0101±0.0032	5,1E-04	622±393	786±419	0,161
90	ctx_lh_S_temporal_transverse	91±118	43±75	0,315	0.0025±0.0011	0.0039±0.0029	0,159	38±37	53±95	0,780
91	ctx_rh_G_and_S_frontomargin	189±92	199±161	0,877	0.0073±0.0037	0.0108±0.0046	0,014	724±569	703±461	0,765
92	ctx_rh_G_and_S_occipital_inf	138±105	181±173	0,529	0.0053±0.0022	0.0099±0.0045	0,001	295±216	552±457	0,101
93	ctx_rh_G_and_S_paracentral	168±129	286±165	0,082	0.0045±0.0016	0.0081±0.0041	0,006	228±294	473±287	0,040
94	ctx_rh_G_and_S_subcentral	160±121	109±92	0,295	0.0068±0.0034	0.0106±0.006	0,033	434±316	370±224	0,996
95	ctx_rh_G_and_S_transv_frontopol	270±249	237±278	0,875	0.0072±0.0043	0.0123±0.0059	0,025	516±446	637±275	0,329
96	ctx_rh_G_and_S_cingul-Ant	269±244	339±255	0,591	0.0059±0.0028	0.0101±0.0056	0,019	435±244	650±226	0,031
97	ctx_rh_G_and_S_cingul-Mid-Ant	325±214	173±137	0,044	0.0056±0.0031	0.0102±0.0057	0,015	418±279	562±348	0,295
98	ctx_rh_G_and_S_cingul-Mid-Post	184±149	311±232	0,124	0.0051±0.0028	0.0085±0.004	0,018	318±289	462±191	0,115
99	ctx_rh_G_cingul-Post-dorsal	154±109	164±124	0,796	0.003±0.0016	0.0055±0.0033	0,032	89±72	150±78	0,048
100	ctx_rh_G_cingul-Post-ventral	161±183	212±174	0,402	0.0035±0.0019	0.0056±0.0031	0,042	160±120	234±131	0,156
101	ctx_rh_G_cuneus	339±192	588±328	0,013	0.0032±0.0017	0.0066±0.0035	0,002	1227±190	432±171	3,7E-04
102	ctx_rh_G_front_inf-Opercular	309±270	155±119	0,061	0.0074±0.0043	0.0141±0.0059	0,004	678±620	1048±615	0,111

ON-LINE FIG 3. Continued

103	ctx_rh_G_front_inf-Orbital	212±162	109±87	0,102	0.0042±0.0019	0.0079±0.0029	0,002	185±219	263±207	0,451
104	ctx_rh_G_front_inf-Triangular	231±205	251±272	0,913	0.0072±0.0033	0.0126±0.0061	0,020	575±400	765±282	0,151
105	ctx_rh_G_front-middle	424±280	360±213	0,790	0.0103±0.0042	0.0173±0.0064	0,003	1621±1207	1923±633	0,307
106	ctx_rh_G_front_sup	1049±620	1036±700	0,839	0.0097±0.004	0.0154±0.0065	0,010	3687±2334	4862±1537	0,054
107	ctx_rh_G_Ins_lg_and_S_cent_ins	262±255	205±219	0,566	0.0045±0.0025	0.008±0.0052	0,038	182±131	295±241	0,121
108	ctx_rh_G_insular_short	196±180	193±173	0,874	0.0056±0.002	0.0108±0.007	0,021	350±184	527±287	0,053
109	ctx_rh_G_occipital-middle	270±215	254±208	0,613	0.0079±0.0034	0.0129±0.0051	0,003	979±693	1381±888	0,145
110	ctx_rh_G_occipital_sup	344±216	608±321	0,031	0.0044±0.0016	0.0074±0.0031	0,003	391±250	652±335	0,034
111	ctx_rh_G_oc-temp_lat-fusiform	223±187	125±117	0,103	0.0051±0.0021	0.0088±0.0042	0,004	305±233	383±162	0,183
112	ctx_rh_G_oc-temp_med-Lingual	486±303	395±305	0,476	0.004±0.0016	0.008±0.0047	0,004	310±223	668±308	9,7E-05
113	ctx_rh_G_oc-temp_med-Parahipp	472±249	362±240	0,374	0.0041±0.0016	0.0064±0.0031	0,028	235±166	302±168	0,204
114	ctx_rh_G_orbital	513±354	620±456	0,563	0.0066±0.0022	0.0106±0.0045	0,002	786±581	1231±617	0,062
115	ctx_rh_G_pariet_inf-Angular	185±191	227±140	0,466	0.0102±0.0038	0.0165±0.0061	0,003	1246±756	1834±775	0,036
116	ctx_rh_G_pariet_inf-Supramar	82±99	127±127	0,220	0.0106±0.0053	0.0171±0.0078	0,015	1094±921	1216±634	0,455
117	ctx_rh_G_parietal_sup	489±346	645±415	0,613	0.0054±0.002	0.0106±0.0051	0,001	646±530	1080±398	0,027
118	ctx_rh_G_postcentral	363±311	379±262	0,905	0.0083±0.0029	0.0136±0.0072	0,019	861±602	1063±472	0,299
119	ctx_rh_G_precentral	317±210	405±369	0,479	0.0113±0.0036	0.0191±0.0106	0,020	1929±1264	2462±818	0,199
120	ctx_rh_G_precuneus	788±524	459±223	0,053	0.0049±0.0023	0.0092±0.0044	0,004	775±575	1219±571	0,035
121	ctx_rh_G_rectus	328±237	250±180	0,390	0.0033±0.0018	0.0052±0.0026	0,021	143±139	150±146	0,729
122	ctx_rh_G_subcallosal	163±148	208±275	0,654	0.0022±0.0018	0.0043±0.0029	0,029	57±60	136±190	0,165
123	ctx_rh_G_temp_sup-G_T_transv	117±137	120±101	0,969	0.0034±0.0011	0.0071±0.0046	0,013	54±44	139±97	0,011
124	ctx_rh_G_temp_sup-Lateral	245±196	415±281	0,094	0.0042±0.0035	0.0129±0.0073	0,044	900±595	1314±648	0,101
125	ctx_rh_G_temp_sup-Plan_polar	411±267	307±208	0,197	0.004±0.0017	0.0069±0.0035	0,012	202±116	331±202	0,050
126	ctx_rh_G_temp_sup-Plan_tempo	113±184	68±65	0,583	0.0066±0.0036	0.0111±0.0049	0,008	204±178	283±98	0,072
127	ctx_rh_G_temporal_inf	257±281	180±153	0,452	0.0071±0.0028	0.0126±0.0051	0,001	785±675	967±437	0,188
128	ctx_rh_G_temporal-middle	245±218	351±285	0,527	0.0099±0.0053	0.016±0.0083	0,023	1641±1158	2261±760	0,066
129	ctx_rh_Lat_Fis-ant-Horizont	91±115	97±126	0,957	0.0027±0.0016	0.0061±0.0032	0,003	41±61	100±99	0,100
130	ctx_rh_Lat_Fis-ant-Vertical	17±40	55±85	0,172	0.0019±0.0019	0.0069±0.0051	0,003	14±16	50±49	0,008
131	ctx_rh_Lat_Fis-post	155±172	84±70	0,222	0.0051±0.0032	0.007±0.0044	0,173	168±167	124±75	0,489
132	ctx_rh_Pole_occipital	392±271	431±373	0,615	0.0049±0.0018	0.0081±0.0035	0,009	474±288	646±319	0,119
133	ctx_rh_Pole_temporal	729±489	495±323	0,155	0.0065±0.0027	0.0105±0.0059	0,025	1178±788	1149±526	0,705
134	ctx_rh_S_calcarine	456±195	437±305	0,543	0.0036±0.0014	0.0064±0.003	0,003	265±204	415±273	0,107
135	ctx_rh_S_central	315±204	253±140	0,329	0.0061±0.0033	0.01±0.0055	0,030	257±191	456±274	0,016
136	ctx_rh_S_cingul-Marginalis	156±177	206±200	0,484	0.0046±0.0024	0.0075±0.0036	0,020	213±197	362±203	0,046
137	ctx_rh_S_circular_insula_ant	26±24	44±34	0,071	0.0042±0.0029	0.0065±0.0028	0,073	77±85	99±96	0,432
138	ctx_rh_S_circular_insula_inf	413±271	310±174	0,278	0.005±0.0018	0.0081±0.0044	0,027	346±148	430±286	0,362
139	ctx_rh_S_circular_insula_sup	137±110	179±135	0,330	0.0038±0.0015	0.0064±0.0036	0,020	92±88	131±94	0,209
140	ctx_rh_S_collat_transv_ant	211±411	115±146	0,629	0.0038±0.0018	0.0079±0.006	0,019	158±158	294±287	0,130
141	ctx_rh_S_collat_transv_post	81±93	136±144	0,391	0.0029±0.0015	0.0046±0.003	0,058	45±38	61±43	0,291
142	ctx_rh_S_front_inf	184±147	163±163	0,957	0.0057±0.0022	0.0104±0.0066	0,017	232±243	237±168	0,681
143	ctx_rh_S_front-middle	272±224	201±168	0,526	0.007±0.0041	0.0114±0.0059	0,040	342±407	351±300	0,788
144	ctx_rh_S_front_sup	278±246	292±361	0,871	0.0081±0.0064	0.013±0.0065	0,053	308±237	550±329	0,067
145	ctx_rh_S_interm_prim-Jensen	27±34	20±31	0,682	0.0047±0.0027	0.0079±0.0043	0,030	80±113	45±26	0,447
146	ctx_rh_S_intrapariet_and_P_trans	365±275	340±258	0,777	0.0058±0.003	0.0098±0.0056	0,025	399±241	605±386	0,079
147	ctx_rh_S_oc-middle_and_Lunatus	79±123	124±81	0,156	0.0031±0.0026	0.0055±0.0033	0,039	79±97	119±125	0,390
148	ctx_rh_S_oc_sup_and_transversal	232±241	436±447	0,341	0.0041±0.0022	0.0066±0.0038	0,012	155±118	321±348	0,044
149	ctx_rh_S_occipital_ant	110±109	88±81	0,406	0.0045±0.0012	0.0091±0.0061	0,013	114±68	284±338	0,092
150	ctx_rh_S_oc-temp_lat	90±213	140±194	0,664	0.0059±0.0059	0.0063±0.0027	0,603	90±49	126±140	0,296
151	ctx_rh_S_oc-temp_med_and_Lingual	395±336	181±135	0,088	0.0042±0.0014	0.0062±0.0026	0,011	303±272	203±72	0,382
152	ctx_rh_S_orbital_lateral	125±138	196±269	0,433	0.0038±0.0009	0.007±0.0044	0,025	85±75	171±146	0,134
153	ctx_rh_S_orbital_med-olfact	236±293	118±123	0,132	0.0028±0.0015	0.0056±0.0039	0,021	68±58	128±92	0,078
154	ctx_rh_S_orbital-H_Shaped	106±106	153±214	0,592	0.0048±0.0038	0.0071±0.0054	0,118	87±67	129±133	0,341
155	ctx_rh_S_parieto_occipital	463±421	504±312	0,739	0.0039±0.0021	0.0068±0.0031	0,008	304±193	425±166	0,043
156	ctx_rh_S_pericallosal	701±301	526±347	0,154	0.0046±0.0019	0.0079±0.0049	0,037	525±434	636±428	0,446
157	ctx_rh_S_postcentral	266±358	275±159	0,772	0.0062±0.0028	0.0099±0.0046	0,020	255±131	444±263	0,028
158	ctx_rh_S_precentral-inf-part	115±108	71±69	0,265	0.0062±0.0026	0.012±0.0065	0,008	219±203	247±134	0,337
159	ctx_rh_S_precentral-sup-part	122±102	193±316	0,295	0.0066±0.0031	0.0124±0.0079	0,030	150±112	289±292	0,073
160	ctx_rh_S_suborbital	67±75	88±112	0,554	0.0024±0.0015	0.0031±0.0022	0,349	35±42	33±24	0,924
161	ctx_rh_S_subparietal	357±399	221±171	0,298	0.0041±0.0026	0.0064±0.0029	0,047	224±226	344±241	0,189
162	ctx_rh_S_temporal_inf	180±188	200±178	0,651	0.0046±0.0018	0.0087±0.0035	6,5E-04	192±201	352±281	0,057
163	ctx_rh_S_temporal_sup	462±432	220±158	0,051	0.0085±0.0042	0.0148±0.0065	0,007	1006±634	1348±599	0,152
164	ctx_rh_S_temporal_transverse	67±73	70±69	0,788	0.0031±0.001	0.0062±0.004	0,017	48±64	77±50	0,205

CLN3 1st vs 2nd acquisition

Idx	Label name	Betweenness centrality			Local efficiency			Strength		
		CLN3 1st	CLN3 2nd	P	CLN3 1st	CLN3 2nd	P	CLN3 1st	CLN3 2nd	P
1	Left-Cerebellum-Cortex	722±294	970±509	0,330	0.0085±0.0031	0.0081±0.0033	0,960	3143±1662	3566±1685	0,356
2	Left-Thalamus-Proper	789±417	1146±392	0,102	0.0091±0.0047	0.008±0.0033	0,606	1740±621	1869±699	0,331
3	Left-Caudate	619±369	648±388	0,704	0.0077±0.0049	0.0064±0.0034	0,794	849±649	559±276	0,481
4	Left-Putamen	700±430	590±384	0,372	0.0103±0.0055	0.0096±0.0039	0,996	2278±1299	2108±907	0,595

ON-LINE FIG 3. Continued

5 Left-Pallidum	410±285	373±275	0,851	0.0093±0.0057	0.0079±0.0033	0,706	1948±580	749±442	0,680
6 Left-Hippocampus	650±466	683±448	0,491	0.0062±0.0026	0.0058±0.0028	0,971	1757±336	500±341	0,215
7 Left-Amygdala	146±154	249±245	0,223	0.0029±0.0018	0.0041±0.0024	0,043	73±53	122±156	0,206
8 Left-Accumbens-area	284±237	230±252	0,397	0.0044±0.0027	0.0033±0.0011	0,306	182±144	97±91	0,159
9 Right-Cerebellum-Cortex	1137±563	912±508	0,383	0.0076±0.003	0.0079±0.0029	0,629	2916±1524	3168±1226	0,401
10 Right-Thalamus-Proper	443±319	813±440	0,030	0.0089±0.0041	0.0073±0.0031	0,526	1693±1043	1172±710	0,422
11 Right-Caudate	436±343	268±145	0,106	0.0076±0.0043	0.0079±0.0036	0,450	1837±469	734±452	0,638
12 Right-Putamen	954±410	613±287	0,019	0.0097±0.0057	0.0096±0.0036	0,832	2180±955	2105±1126	0,605
13 Right-Pallidum	338±205	544±321	0,071	0.0078±0.0035	0.008±0.0026	0,673	759±333	842±370	0,278
14 Right-Hippocampus	585±394	561±428	0,941	0.0052±0.0017	0.0054±0.002	0,354	564±425	534±355	0,611
15 Right-Amygdala	238±274	324±261	0,547	0.0035±0.0019	0.0033±0.0008	0,965	103±72	83±39	0,703
16 Right-Accumbens-area	218±227	147±136	0,716	0.004±0.0019	0.0039±0.0021	0,791	139±121	139±111	0,601
17 ctx_lh_G_and_S_frontomargin	352±294	325±205	0,783	0.0079±0.006	0.006±0.0022	0,364	612±558	386±377	0,279
18 ctx_lh_G_and_S_occipital_inf	181±173	179±212	0,575	0.0069±0.0038	0.0055±0.0029	0,314	534±622	284±286	0,256
19 ctx_lh_G_and_S_paracentral	374±274	363±180	0,609	0.0054±0.0028	0.0053±0.0029	0,758	509±431	607±601	0,299
20 ctx_lh_G_and_S_subcentral	127±147	160±176	0,709	0.0084±0.0057	0.0066±0.0034	0,605	572±400	419±372	0,714
21 ctx_lh_G_and_S_transv_frontopol	211±178	181±173	0,885	0.0076±0.0042	0.0067±0.0032	0,789	559±523	321±187	0,377
22 ctx_lh_G_and_S_cingul-Ant	217±215	290±236	0,355	0.0054±0.0023	0.0059±0.0032	0,099	382±311	577±608	0,041
23 ctx_lh_G_and_S_cingul-Mid-Ant	150±118	143±113	0,869	0.0059±0.0036	0.0054±0.0025	0,851	398±222	322±204	0,944
24 ctx_lh_G_and_S_cingul-Mid-Post	161±119	119±126	0,573	0.0047±0.0024	0.0049±0.0024	0,358	260±138	235±211	0,453
25 ctx_lh_G_cingul-Post-dorsal	227±153	172±114	0,179	0.0033±0.0018	0.003±0.0016	0,645	123±75	89±59	0,188
26 ctx_lh_G_cingul-Post-ventral	353±279	163±111	0,031	0.0032±0.0017	0.0035±0.0016	0,807	148±121	179±198	0,584
27 ctx_lh_G_cuneus	299±193	427±247	0,168	0.0044±0.0022	0.0035±0.0014	0,458	307±146	245±144	0,682
28 ctx_lh_G_front_inf-Opercular	174±174	202±219	0,896	0.0083±0.0056	0.0086±0.0048	0,487	831±819	870±815	0,410
29 ctx_lh_G_front_inf-Orbital	147±170	65±73	0,157	0.0049±0.0027	0.0045±0.0028	0,802	198±282	91±80	0,364
30 ctx_lh_G_oc-temp_inf-Triangul	349±163	240±184	0,159	0.0077±0.0047	0.0064±0.0019	0,682	645±583	430±284	0,566
31 ctx_lh_G_front_middle	336±295	532±326	0,132	0.0128±0.0094	0.0106±0.0051	0,729	1334±758	1403±804	0,417
32 ctx_lh_G_front_sup	824±323	765±437	0,523	0.011±0.0065	0.0102±0.0043	0,830	3748±2198	4294±2927	0,093
33 ctx_lh_G_ins_lg_and_S_cent_ins	202±156	127±122	0,460	0.0047±0.0027	0.004±0.002	0,498	199±150	146±177	0,639
34 ctx_lh_G_insular_short	343±215	360±155	0,950	0.0052±0.003	0.0041±0.0015	0,457	243±182	256±227	0,322
35 ctx_lh_G_occipital_middle	285±213	474±244	0,039	0.0073±0.0035	0.0064±0.0036	0,843	1019±893	732±453	0,559
36 ctx_lh_G_occipital_sup	326±196	331±180	0,858	0.0046±0.0021	0.0046±0.0027	0,778	393±331	407±388	0,570
37 ctx_lh_G_oc-temp_lat-fusiform	207±166	244±154	0,347	0.0055±0.002	0.0058±0.0028	0,542	335±239	389±287	0,223
38 ctx_lh_G_oc-temp_med-Lingual	379±235	460±312	0,319	0.0044±0.0016	0.0042±0.002	0,732	417±355	308±275	0,391
39 ctx_lh_G_oc-temp_med-Parahip	358±233	497±320	0,257	0.005±0.0025	0.0046±0.0014	0,955	327±207	283±135	0,902
40 ctx_lh_G_orbital	481±332	538±184	0,943	0.0084±0.0053	0.0061±0.0021	0,183	1034±506	798±400	0,185
41 ctx_lh_G_pariet_inf-Angular	234±190	448±382	0,083	0.0096±0.0056	0.0078±0.0039	0,524	1115±646	1041±695	0,997
42 ctx_lh_G_pariet_inf-Supramar	74±73	128±99	0,149	0.0107±0.0062	0.0082±0.0036	0,362	971±626	717±567	0,597
43 ctx_lh_G_parietal_sup	633±415	624±334	0,955	0.0065±0.0033	0.0068±0.003	0,522	980±647	1182±738	0,135
44 ctx_lh_G_postcentral	344±314	261±211	0,804	0.0091±0.0053	0.0086±0.003	0,973	802±434	996±741	0,045
45 ctx_lh_G_precentral	381±225	483±373	0,596	0.0115±0.0062	0.0108±0.0048	0,954	1759±1177	1689±1238	0,774
46 ctx_lh_G_precuneus	617±476	713±512	0,931	0.0057±0.0024	0.0054±0.0024	0,931	706±347	654±432	0,768
47 ctx_lh_G_rectus	249±198	211±145	0,711	0.005±0.0029	0.0039±0.0016	0,310	238±165	217±192	0,947
48 ctx_lh_G_subcallosal	271±252	160±135	0,328	0.0026±0.0013	0.0026±0.0013	0,863	80±80	64±88	0,771
49 ctx_lh_G_temp_sup-G_T_transv	64±78	91±127	0,486	0.0043±0.0031	0.0036±0.0028	0,571	77±70	66±54	0,941
50 ctx_lh_G_temp_sup-Lateral	340±230	486±272	0,223	0.0079±0.004	0.0062±0.0026	0,402	809±528	694±546	0,934
51 ctx_lh_G_temp_sup-Plan_polar	260±166	371±350	0,158	0.0034±0.0025	0.0036±0.0018	0,828	102±82	166±158	0,105
52 ctx_lh_G_temp_sup-Plan_tempo	96±104	129±127	0,955	0.0057±0.0039	0.0048±0.0033	0,842	176±121	207±234	0,238
53 ctx_lh_G_temporal_inf	449±387	380±234	0,677	0.0077±0.0039	0.007±0.003	0,897	882±483	799±498	0,999
54 ctx_lh_G_temporal_middle	416±477	300±210	0,342	0.0092±0.0054	0.0069±0.0025	0,342	954±501	895±638	0,830
55 ctx_lh_Lat_Fis-ant-Horizont	41±33	49±47	0,625	0.0034±0.0024	0.0021±0.0015	0,118	33±32	25±35	0,546
56 ctx_lh_Lat_Fis-ant-Vertical	49±70	75±86	0,409	0.0037±0.0032	0.0032±0.0024	0,963	44±45	35±55	0,953
57 ctx_lh_Lat_Fis-post	111±79	105±114	0,921	0.0044±0.0026	0.0037±0.002	0,996	181±330	121±140	0,945
58 ctx_lh_Pole_occipital	245±293	258±319	0,644	0.0059±0.0034	0.0051±0.0022	0,761	479±373	454±528	0,630
59 ctx_lh_Pole_temporal	517±274	596±251	0,248	0.0069±0.0037	0.006±0.0025	0,605	1040±521	1005±886	0,829
60 ctx_lh_S_calcarine	315±216	380±254	0,269	0.0047±0.0021	0.0041±0.002	0,625	404±187	278±169	0,232
61 ctx_lh_S_central	229±297	268±247	0,776	0.0064±0.0037	0.0056±0.002	0,672	234±206	239±181	0,770
62 ctx_lh_S_cingul-Marginalis	286±222	116±73	0,014	0.0042±0.0021	0.004±0.0021	0,911	232±221	155±102	0,425
63 ctx_lh_S_circular_insula_ant	111±129	112±128	0,941	0.0043±0.0033	0.0033±0.0016	0,283	99±99	84±76	0,902
64 ctx_lh_S_circular_insula_inf	360±280	289±352	0,613	0.0048±0.0026	0.0047±0.002	0,913	209±104	320±215	0,049
65 ctx_lh_S_circular_insula_sup	274±250	259±160	0,684	0.0049±0.0034	0.0037±0.0017	0,340	191±147	141±132	0,614
66 ctx_lh_S_collat_transv_ant	164±153	216±308	0,446	0.0049±0.0031	0.0042±0.0024	0,683	199±129	235±201	0,321
67 ctx_lh_S_collat_transv_post	48±58	34±59	0,581	0.0032±0.0018	0.003±0.0018	0,908	28±36	35±57	0,546
68 ctx_lh_S_front_inf	166±166	183±202	0,912	0.0091±0.008	0.0084±0.0056	0,733	305±357	361±300	0,211
69 ctx_lh_S_front_middle	129±132	66±116	0,115	0.0063±0.0041	0.0072±0.0037	0,501	140±100	119±83	0,280
70 ctx_lh_S_front_sup	235±208	306±275	0,218	0.0109±0.0107	0.0085±0.0043	0,726	381±304	487±478	0,088
71 ctx_lh_S_interm_prim-Jensen	33±37	61±72	0,310	0.0038±0.003	0.0031±0.0021	0,452	48±54	71±110	0,436
72 ctx_lh_S_intrapariet_and_P_trans	338±223	408±299	0,451	0.0055±0.0024	0.0051±0.0028	0,962	400±206	359±292	0,718
73 ctx_lh_S_oc-middle_and_Lunatus	183±220	99±178	0,377	0.0034±0.0031	0.0039±0.0027	0,561	138±158	96±90	0,602
74 ctx_lh_S_oc_sup_and_transversal	434±567	293±353	0,272	0.0041±0.0018	0.0036±0.0024	0,640	224±139	120±104	0,074

ON-LINE FIG 3. Continued

75	ctx_lh_S_occipital_ant	54±49	63±60	0,597	0.005±0.0029	0.0031±0.0021	0,170	107±95	86±96	0,819
76	ctx_lh_S_oc-temp_lat	144±173	193±190	0,352	0.0046±0.0022	0.0039±0.002	0,609	164±146	126±112	0,927
77	ctx_lh_S_oc-temp_med_and_Lingual	373±396	219±300	0,133	0.0045±0.0021	0.0054±0.0021	0,177	317±206	349±253	0,359
78	ctx_lh_S_orbital_lateral	127±121	90±75	0,349	0.0052±0.0039	0.0046±0.002	0,982	116±146	110±90	0,784
79	ctx_lh_S_orbital_med-olfact	214±471	141±134	0,334	0.0036±0.0023	0.0024±0.0013	0,137	87±70	29±18	0,022
80	ctx_lh_S_orbital-H_Shaped	147±166	71±89	0,061	0.0048±0.0038	0.004±0.002	0,446	101±96	69±50	0,273
81	ctx_lh_S_parieto_occipital	270±308	282±191	0,978	0.0045±0.0023	0.0037±0.0015	0,659	304±228	259±222	0,918
82	ctx_lh_S_pericallosal	362±268	461±335	0,805	0.0038±0.0017	0.0039±0.0016	0,691	223±134	214±100	0,767
83	ctx_lh_S_postcentral	122±107	168±188	0,685	0.0075±0.0039	0.0074±0.0038	0,834	349±171	454±366	0,133
84	ctx_lh_S_precentral-inf-part	94±97	60±84	0,405	0.0065±0.0036	0.0072±0.0033	0,310	138±116	173±236	0,276
85	ctx_lh_S_precentral-sup-part	72±89	68±101	0,751	0.0072±0.0058	0.0073±0.0033	0,795	109±110	149±118	0,194
86	ctx_lh_S_suborbital	166±152	188±154	0,436	0.003±0.0015	0.0036±0.0014	0,233	80±76	132±82	0,083
87	ctx_lh_S_subparietal	229±186	260±261	0,801	0.0036±0.0011	0.0036±0.0019	0,705	225±202	198±204	0,849
88	ctx_lh_S_temporal_inf	103±84	157±94	0,284	0.0046±0.0022	0.004±0.0014	0,622	111±79	134±106	0,525
89	ctx_lh_S_temporal_sup	372±344	330±275	0,599	0.0072±0.0035	0.0064±0.0025	0,749	657±389	622±393	0,915
90	ctx_lh_S_temporal_transverse	85±116	91±118	0,630	0.0036±0.0028	0.0025±0.0011	0,266	59±84	38±37	0,633
91	ctx_rh_G_and_S_frontomargin	354±412	189±92	0,132	0.0069±0.004	0.0073±0.0037	0,522	450±250	724±569	0,038
92	ctx_rh_G_and_S_occipital_inf	169±184	138±105	0,328	0.0068±0.004	0.0053±0.0022	0,342	430±316	295±216	0,264
93	ctx_rh_G_and_S_paracentral	234±208	168±129	0,516	0.0048±0.0025	0.0045±0.0016	0,939	265±201	228±294	0,981
94	ctx_rh_G_and_S_subcentral	135±100	160±121	0,888	0.0062±0.0037	0.0068±0.0034	0,425	285±143	434±316	0,020
95	ctx_rh_G_and_S_transv_frontopol	340±334	270±249	0,492	0.0084±0.0053	0.0072±0.0043	0,939	716±637	516±446	0,653
96	ctx_rh_G_and_S_cingul-Ant	329±237	269±244	0,928	0.0064±0.0038	0.0059±0.0028	0,854	573±408	435±244	0,478
97	ctx_rh_G_and_S_cingul-Mid-Ant	395±266	325±214	0,327	0.0053±0.0027	0.0056±0.0031	0,498	431±255	418±279	0,501
98	ctx_rh_G_and_S_cingul-Mid-Post	291±310	184±149	0,182	0.0044±0.0015	0.0051±0.0028	0,229	268±95	318±289	0,284
99	ctx_rh_G_cingul-Post-dorsal	185±217	154±109	0,509	0.0033±0.0016	0.003±0.0016	0,802	128±63	89±72	0,294
100	ctx_rh_G_cingul-Post-ventral	221±301	161±183	0,862	0.0034±0.0023	0.0035±0.0019	0,867	144±129	160±120	0,596
101	ctx_rh_G_cuneus	400±262	339±192	0,171	0.0039±0.0015	0.0032±0.0017	0,631	246±145	227±190	0,617
102	ctx_rh_G_front_inf-Opercular	193±154	309±270	0,266	0.0072±0.0054	0.0074±0.0043	0,876	486±322	678±620	0,153
103	ctx_rh_G_front_inf-Orbital	80±71	212±162	0,008	0.0043±0.0019	0.0042±0.0019	0,830	115±69	185±219	0,136
104	ctx_rh_G_front_inf-Triangul	225±247	231±205	0,568	0.0064±0.0037	0.0072±0.0033	0,405	421±326	575±400	0,050
105	ctx_rh_G_front_middle	420±302	424±280	0,920	0.0101±0.0054	0.0103±0.0042	0,650	1711±1379	1621±1207	0,758
106	ctx_rh_G_front_sup	837±542	1049±620	0,511	0.0104±0.0057	0.0097±0.004	0,898	3363±2116	3687±2334	0,293
107	ctx_rh_G_Ins_lg_and_S_cent_ins	179±121	262±255	0,586	0.004±0.0025	0.0045±0.0025	0,566	117±85	182±131	0,124
108	ctx_rh_G_cingul-short	307±148	196±180	0,035	0.0053±0.0035	0.0056±0.002	0,644	296±222	350±184	0,459
109	ctx_rh_G_occipital_middle	376±341	270±215	0,432	0.0077±0.0042	0.0079±0.0034	0,821	1094±872	979±693	0,923
110	ctx_rh_G_occipital_sup	368±325	344±216	0,612	0.0046±0.0022	0.0044±0.0016	0,807	452±521	391±250	0,749
111	ctx_rh_G_oc-temp_lat-fusiform	206±222	223±187	0,849	0.0058±0.0025	0.0051±0.0021	0,559	281±179	305±233	0,442
112	ctx_rh_G_oc-temp_med-Lingual	641±416	486±303	0,226	0.0042±0.0012	0.004±0.0016	0,949	431±261	310±223	0,387
113	ctx_rh_G_oc-temp_med-Parahip	343±288	472±249	0,263	0.0041±0.0015	0.0041±0.0016	0,735	234±255	235±166	0,853
114	ctx_rh_G_orbital	550±398	513±354	0,941	0.0075±0.0043	0.0066±0.0022	0,683	1014±543	786±581	0,551
115	ctx_rh_G_pariet_inf-Angular	254±280	185±191	0,598	0.0099±0.0059	0.0102±0.0038	0,819	1211±855	1246±756	0,733
116	ctx_rh_G_pariet_inf-Supramar	156±183	82±99	0,317	0.0105±0.0055	0.0106±0.0053	0,615	1128±684	1094±921	0,326
117	ctx_rh_G_parietal_sup	663±460	489±346	0,501	0.0055±0.0033	0.0054±0.002	0,785	631±461	646±530	0,550
118	ctx_rh_G_postcentral	473±371	363±311	0,452	0.0069±0.0043	0.0083±0.0029	0,196	638±457	861±602	0,100
119	ctx_rh_G_precentral	400±315	317±210	0,231	0.0095±0.0048	0.0113±0.0036	0,216	1460±1051	1929±1264	0,137
120	ctx_rh_G_preuncus	480±387	788±524	0,213	0.0054±0.0026	0.0051±0.0023	0,961	664±378	775±575	0,234
121	ctx_rh_G_rectus	230±236	328±237	0,103	0.0034±0.0022	0.0033±0.0018	0,799	89±76	143±139	0,082
122	ctx_rh_G_subcallosal	204±148	163±148	0,818	0.0022±0.0009	0.0022±0.0018	0,518	62±49	57±60	0,647
123	ctx_rh_G_temp_sup-G_T_transv	164±107	117±137	0,462	0.0035±0.0025	0.0034±0.0011	0,946	75±79	54±44	0,591
124	ctx_rh_G_temp_sup-Lateral	672±809	245±196	0,019	0.0069±0.0036	0.0082±0.0035	0,165	711±338	900±595	0,085
125	ctx_rh_G_temp_sup-Plan_polar	363±159	411±267	0,818	0.0041±0.0028	0.004±0.0017	1,000	185±142	202±116	0,531
126	ctx_rh_G_temp_sup-Plan_tempo	82±76	113±184	0,663	0.0074±0.0051	0.0066±0.0036	0,938	240±184	204±178	0,968
127	ctx_rh_G_temporal_inf	218±187	257±281	0,679	0.0083±0.0048	0.0071±0.0028	0,657	850±449	785±675	0,894
128	ctx_rh_G_temporal_middle	220±156	245±218	0,931	0.0095±0.0051	0.0099±0.0053	0,573	1537±786	1641±1158	0,288
129	ctx_rh_Lat_Fis-ant-Horizont	116±148	91±115	0,826	0.0034±0.0031	0.0027±0.0016	0,721	62±79	41±61	0,994
130	ctx_rh_Lat_Fis-ant-Vertical	43±85	17±40	0,681	0.0033±0.0033	0.0019±0.0019	0,404	39±56	14±16	0,407
131	ctx_rh_Lat_Fis-post	144±88	155±172	0,981	0.0052±0.0032	0.0051±0.0032	0,830	230±209	168±167	0,752
132	ctx_rh_Pole_occipital	506±422	392±271	0,579	0.0057±0.0026	0.0049±0.0018	0,664	638±366	474±288	0,634
133	ctx_rh_Pole_temporal	585±374	729±489	0,731	0.007±0.0038	0.0065±0.0027	0,904	918±490	1178±788	0,184
134	ctx_rh_S_calcarine	396±221	456±195	0,606	0.0039±0.0012	0.0036±0.0014	0,989	266±134	265±204	0,539
135	ctx_rh_S_central	174±117	315±204	0,109	0.0055±0.0039	0.0061±0.0033	0,734	232±171	257±191	0,567
136	ctx_rh_S_cingul-Marginalis	177±184	156±177	0,961	0.0045±0.0023	0.0046±0.0024	0,664	197±146	213±197	0,432
137	ctx_rh_S_circular_insula_ant	135±146	26±24	0,059	0.0043±0.0037	0.0042±0.0029	0,861	101±103	77±85	0,420
138	ctx_rh_S_circular_insula_inf	217±132	413±271	0,063	0.0052±0.0029	0.005±0.0018	0,797	269±138	346±148	0,137
139	ctx_rh_S_circular_insula_sup	191±129	137±110	0,344	0.0037±0.002	0.0038±0.0015	0,852	93±52	92±88	0,803
140	ctx_rh_S_collat_transv_ant	75±85	211±411	0,097	0.0054±0.0034	0.0038±0.0018	0,188	138±81	158±158	0,471
141	ctx_rh_S_collat_transv_post	83±109	81±93	0,589	0.0037±0.0037	0.0029±0.0015	0,642	51±51	45±38	0,865
142	ctx_rh_S_front_inf	186±150	184±147	0,866	0.006±0.0033	0.0057±0.0022	0,967	300±283	232±243	0,960
143	ctx_rh_S_front_middle	210±229	272±224	0,278	0.0082±0.0069	0.007±0.0041	0,990	316±275	342±407	0,175
144	ctx_rh_S_front_sup	222±211	278±246	0,635	0.0082±0.0053	0.0081±0.0064	0,719	326±201	308±237	0,679

ON-LINE FIG 3. Continued

145 ctx_rh_S_interm_prim-Jensen	41±54	27±34	0,640	0.0044±0.0019	0.0047±0.0027	0,305	66±101	80±113	0,466
146 ctx_rh_S_intrapariet_and_P_trans	298±242	365±275	0,866	0.0059±0.0044	0.0058±0.003	0,994	1389±353	399±241	0,630
147 ctx_rh_S_oc_middle_and_Lunatus	129±204	79±123	0,432	0.0028±0.0017	0.0031±0.0026	0,514	71±74	79±97	0,530
148 ctx_rh_S_oc_sup_and_transversal	239±194	232±241	0,894	0.0037±0.0022	0.0041±0.0022	0,646	100±63	155±118	0,155
149 ctx_rh_S_occipital_ant	218±270	110±109	0,456	0.0047±0.0023	0.0045±0.0012	0,948	107±90	114±68	0,398
150 ctx_rh_S_oc-temp_lat	45±67	90±213	0,341	0.0053±0.0031	0.0059±0.0059	0,839	92±72	90±49	0,709
151 ctx_rh_S_oc-temp_med_and_Lingual	190±186	395±336	0,018	0.0043±0.002	0.0042±0.0014	0,816	175±131	303±272	0,006
152 ctx_rh_S_orbital_lateral	101±124	125±138	0,678	0.0042±0.0038	0.0038±0.0009	0,875	83±91	85±75	0,832
153 ctx_rh_S_orbital_med-olfact	176±201	236±293	0,392	0.003±0.002	0.0028±0.0015	0,905	75±50	68±58	0,952
154 ctx_rh_S_orbital-H_Shaped	172±226	106±106	0,304	0.0053±0.0028	0.0048±0.0038	0,818	257±356	87±67	0,218
155 ctx_rh_S_parieto_occipital	429±272	463±421	0,404	0.0041±0.0018	0.0039±0.0021	0,863	345±245	304±193	0,715
156 ctx_rh_S_pericallosal	657±479	701±301	0,854	0.0046±0.0027	0.0046±0.0019	0,858	452±395	525±434	0,538
157 ctx_rh_S_postcentral	283±259	266±358	0,980	0.0046±0.0021	0.0062±0.0028	0,105	204±136	255±131	0,291
158 ctx_rh_S_precentral-inf-part	73±89	115±108	0,105	0.0062±0.0036	0.0062±0.0026	0,898	184±168	219±203	0,135
159 ctx_rh_S_precentral-sup-part	79±94	122±102	0,202	0.0065±0.0044	0.0066±0.0031	0,966	152±112	150±112	0,785
160 ctx_rh_S_suborbital	72±123	67±75	0,605	0.0024±0.0016	0.0024±0.0015	0,766	37±38	35±42	0,838
161 ctx_rh_S_subparietal	183±151	357±399	0,352	0.0037±0.0027	0.0041±0.0026	0,625	165±138	224±226	0,204
162 ctx_rh_S_temporal_inf	240±273	180±188	0,455	0.0054±0.0045	0.0046±0.0018	0,875	209±198	192±201	0,655
163 ctx_rh_S_temporal_sup	346±229	462±432	0,868	0.0087±0.0048	0.0085±0.0042	0,799	813±374	1006±634	0,079
164 ctx_rh_S_temporal_transverse	64±51	67±73	0,659	0.0036±0.0028	0.0031±0.001	0,628	50±43	48±64	0,934

ON-LINE FIG 3. Continued

On-line Table: Description of the graph theoretical properties used in this study

Degree	The Number of Adjacent Nodes, ie, Neighbors of the Node
Strength	Total number of streamlines connected from a node to all other nodes
Clustering coefficient	Fraction of the neighbors of a node connected to each other and, thus, forming a triangle
Characteristic path length	Average of the shortest path lengths between each pair of nodes in the network
Global efficiency	Average of the inverse shortest path lengths and is influenced more by short paths, whereas long paths primarily influence the characteristic path length.
Local efficiency	Efficiency of a subgraph formed by the neighborhood of the node
Betweenness centrality	Measures the centrality of the node in the network and is affected by the fraction of the shortest paths passing through the node
Small-worldness	Small-world networks contain both specialized modules and integrating edges; small-worldness is calculated as the ratio between the clustering coefficient and the characteristic path length